

دراسة مقارنة للقدرة التنبؤية لزمن السباحة من القياسات البدنية باستخدام نموذجين للانحدار ونموذج تحليل الشبكة العصبية

أ.م.د. خالد مصطفى اسماعيل الشبكي
أستاذ مساعد بقسم أصول التربية الرياضية
كلية التربية الرياضية للبنين
جامعة الإسكندرية

أ.م.د. كارم احمد ابوزيد حشيش
أستاذ مساعد بقسم أصول التربية الرياضية
كلية التربية الرياضية للبنين
جامعة الإسكندرية

م.د. سارة محمد بسيوني مصطفى
مدرس بقسم نظريات وتطبيقات الرياضة المدرسية
كلية التربية الرياضية للبنات
جامعة الإسكندرية

المقدمة ومشكلة الدراسة :

يتعامل علم الإحصاء من خلال نواتج القياس الرقمية للوصول الى نتائج محددة تتمثل في أهداف البحث العلمي التي تشمل الوصف والمقارنة والتتبع أو دراسة التأثيرات والتحكم فيها وأخيراً دراسة العلاقات والتنبؤ والتي تحتل أهمية كبيرة في كافة المجالات من خلال تحليل البيانات لتحقيق هذه الأهداف.

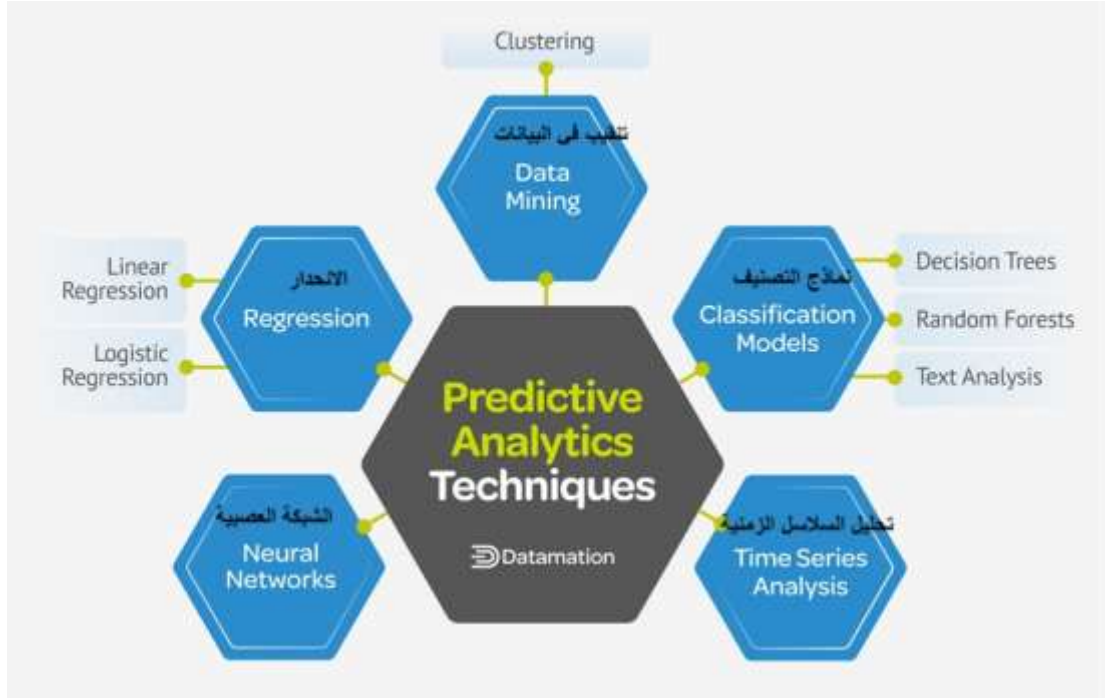
حيث يذكر طاهر دست **Taher doost** (٢٠٢٠) أن تحليل البيانات هو ببساطة عملية تحويل البيانات التي تم جمعها إلى معلومات ذات معنى؛ حيث يتم استخدام تقنيات مختلفة للوصول إلى الاتجاهات والعلاقات، وبالتالي الإستنتاجات لمعالجة عملية صنع القرار. ويجب إعداد البيانات قبل استخدام ها في عملية تحليل البيانات من خلال عدد كبير من المعالجات حيث يوضح أن الأنواع الرئيسية لطرق تحليل البيانات تنقسم إلى الطرق الست الرئيسية التالية وهي :-

• وصفي Descriptive • إستكشافي Exploratory • إستنتاجي Inferential • تنبؤي Predictive • توضيحي أو سببي Explanatory or Causal • ميكانيكي Mechanistic . حيث تعد الدراسات التنبؤية من أهم الأنواع وأكثرها شيوعاً. العباسي، عبد الحميد ٢٠١٣

ويعرض هالتون **Halton** (٢٠٢٤) في مقاله بعنوان التحليلات التنبؤية: بعنوان التعريف وأنواع النماذج والإستخدامات تعريفه عن ماهي التحليلات التنبؤية حيث يوضح أن التحليلات التنبؤية هي إستخدام الإحصائيات وتقنيات النمذجة للتنبؤ بالنتائج المستقبلية حيث يتم فحص أنماط البيانات الحالية والتاريخية وتخطيطها لتحديد احتمالية تكرار تلك الأنماط

حيث توضح تاكود **Ticong** (٢٠٢٤) أن التحليلات التنبؤية هي نوع من تحليلات البيانات المتقدمة التي تستخدم البيانات التاريخية والخوارزميات الإحصائية والتعلم الآلي (ML) للتنبؤ بالنتائج المستقبلية بدقة عالية ؛ حيث تقوم التحليلات التنبؤية بتقييم البيانات والأنماط السابقة لإكتشاف المخاطر، وإيجاد الفرص، وتوقع التغييرات ، والتنبؤ بالاتجاهات، حيث يتم إستخدام مجموعة واسعة من التقنيات في التحليلات التنبؤية، بما في ذلك الإنحدار، وإستخراج البيانات، ونمذجة التصنيف، والشبكات العصبية، وتحليل السلاسل الزمنية. إن معرفة ما هو المناسب لمختلف التطبيقات والأهداف المختلفة أمر ضروري لإستخدامها بنجاح في عملك.

بينما يوضح طاهر دست (٢٠٢٠) أن التحليل التنبؤي يعتمد على الحقائق التاريخية والحالية للوصول إلى التنبؤات المستقبلية ، كما يمكنه أيضاً إستخدام البيانات من موضوع للتنبؤ بقيم موضوع آخر ، فهناك نماذج تنبؤية مختلفة. ومع ذلك، يمكن أن يعمل نموذج بسيط يحتوي على المزيد من البيانات بشكل أفضل.



شكل (١) يوضح أساليب التحليلات التنبؤية المختلفة عن وتعرض تايكود ٢٠٢٤

حيث يشير موقع Qlik® (٢٠٢٤) الى أن أكثر الطرق إستخداماً هما الانحدار، حيث تُستخدم نماذج الانحدار للتنبؤ بقيمة عددية مستمرة بناءً على واحد أو أكثر من متغيرات الإدخال. الهدف من نموذج الانحدار هو تحديد العلاقة بين متغيرات المدخلات ومتغير المخرجات ، وإستخدام تلك العلاقة لعمل تنبؤات حول متغير المخرجات. تُستخدم نماذج الانحدار بشكل شائع في مجالات مختلفة، بما في ذلك التحليل المالي والإقتصاد والهندسة، للتنبؤ بالنتائج مثل المبيعات وأسعار الأسهم ودرجات الحرارة. حيث تفترض نماذج الانحدار الخطي وجود علاقة خطية بين متغيرات الإدخال ومتغير الإخراج. وتفترض نماذج الانحدار متعدد الحدود وجود علاقة غير خطية بين المدخلات والمخرجات. بينما تُستخدم نماذج الانحدار اللوجستي لمشاكل التصنيف الثنائي، حيث يكون متغير الإخراج إما ٠ أو ١. أما الطريقة الثانية هي نماذج الشبكة العصبية هي نوع من تقنيات النمذجة التنبؤية المستوحاة من بنية ووظيفة الدماغ البشري. الهدف من هذه النماذج هو تعلم العلاقات المعقدة بين متغيرات المدخلات ومتغيرات المخرجات، وإستخدام تلك المعلومات لإجراء التنبؤات. غالباً ما تُستخدم نماذج الشبكة العصبية في مجالات مثل التعرف على الصور، ومعالجة اللغة الطبيعية، والتعرف على الكلام، لإجراء تنبؤات

يتضح مما سبق أن دراسات التنبؤ تلعب دوراً هاماً كمجال للدراسة لما له من أهمية علمية وتطبيقية هامة في جميع المجالات ومنها التربية البدنية والرياضة ، وتعتمد دراسات التنبؤ على نمط خاصة من المعالجات الإحصائية يحقق هذا التنبؤ وهي كما يتضح من الشكل (١) التنقيب في البيانات والانحدار وتحليل السلاسل الزمنية ونماذج التصنيف والشبكة العصبية وهي الأحدث من هذه التطبيقات كما تم تطوير بعض أساليب المعالجات الأخرى باستخدام تطبيقات الذكاء الاصطناعي وخاصة الانحدار والتصنيف فظهر نمط متقدم منها خلاف الأنماط التقليدية.

ومجال التربية البدنية والرياضة يستخدم التنبؤ لتحقيق العديد من الأهداف وخاصة في التدريب والانتقاء ومع النظرة الحديث للأداء البدني كظاهرة معقدة ومع تعدد نوعيات النواتج من هذا الأداء تعددت الأساليب الإحصائية وصلاحتها في التنبؤ ولذا فقد عمدت الدراسة الى إستخدام بيانات فعلية لإحدى الأنشطة الرقمية (السباحة) لتطبيق أكثر أساليب الانحدار إستخداماً والمقارنة بينها في قدرتها على تحقيق هذا التنبؤ لتحديد أكثرها دقة .

الدراسة النظرية :

وهو ما تم في عدة مجالات أخرى فقد قام مونيوز وفيليسيمو Muñoz & Felicísimo (٢٠٠٤) دراسة بعنوان مقارنة بين الأساليب الإحصائية المستخدمة بشكل شائع في النمذجة التنبؤية في البيانات الجغرافية حيث إستخدام

كل من الانحدار المتعدد اللوجستي ، والانحدار والتصنيف الرئيسي والانحدار التحليلي لشجرة الانحدار (CART) ، على نفس البيانات الجغرافية حيث ان هذه الطرق الأكثر شيوعا في هذا المجال حيث اتضح ان نموذج MARS وRegression Tree Analysis حقق أفضل نجاح في التنبؤ ، على الرغم من صعوبة استخدام نموذج CART لأغراض رسم الخرائط بسبب تعقيد النموذج.

كما تعرضت هونغوي يانغ Hongwei Yang (٢٠١٣) في مقالة منشورة بعنوان إدخال إجراء النمذجة الخطية التلقائية (LINEAR) في إحصائيات SPSS تستعرض هذه المقالة إجراء النمذجة الخطية التلقائية (LINEAR) الجديد التي بدأت تظهر إعتباراً من النسخة SPSS 25 وتقدمه كأداة تحليلية جديدة للباحثين الذين يستخدمون الانحدار الخطي بانتظام . تحقيقاً لهذه الغاية، تستخدم المقالة تطبيقات معيارية لفحص إثنين من ميزاتها الرئيسية هما الإعداد التلقائي للبيانات بالتحويل للبيانات حسب نوعها والاختيار التلقائي للمجموعة الفرعية ، بالإضافة إلى ذلك، تناقش المقالة قيود الإجراء الخطي، وطرق تحسينه

ويشير جينك ومينديز Genç and Mendes (٢٠٢٤) من خلال مقارنة أداء الانحدار الخطي المتعدد والنمذجة الخطية التلقائية لأحجام العينات المختلفة وعدد المتنبئات. وأجريت لهذا الغرض دراسة شاملة وعلى الرغم من أن كلتا الطريقتين أعطتا نتائج متشابهة جداً خاصة عند دراستها بأحجام عينات كبيرة ($n \geq 100$) ، إلا أن النمذجة الخطية التلقائية مفضلة لتحليل مجموعات البيانات نظراً لبساطتها في تحليل البيانات وتفسير النتائج ، والقدرة على تقديم النتائج بصرياً وتوفير معلومات أكثر تفصيلاً خاصة دراسة مجموعات البيانات المعقدة الكبيرة. **بدراسة بعنوان مقارنة بين نماذج ML** المختلفة للتنبؤ بنتائج مباريات كرة القدم حيث قارن ثلاثة نماذج ML تستخدم للتنبؤ بنتائج مباريات كرة القدم. هذه النماذج من ثلاثة أطر زمنية مختلفة، وتم إجراء مراجعة شاملة لتحديد النموذج الأفضل ونموذج التنبؤ الأكثر دقة ، بدءاً من الخوارزميات مثل الانحدار اللوجستي والشبكات العصبية والغابة العشوائية بدقة تبلغ حوالي ٦٠٪. تأخذ بعض الخوارزميات أيضاً في الإعتبار شكل الفرق في المباريات الخمس الأخيرة.

بينما يؤكد فريدريك Fredrik (٢٠٢٣) من خلال رسالة الماجستير أن التعلم الآلي هو وسيلة ممتازة لعمل التنبؤات. في هذه الأطروحة، تتم مقارنة وتحليل العديد من خوارزميات التعلم الآلي ومجموعات البيانات للعثور على أفضل نهج. كلما زادت دقة التنبؤ التي يحققها النموذج، زادت دقة تنبؤاته. عند التنبؤ بنتائج مباريات كرة القدم، هناك ثلاث نتائج محتملة: الفوز للفريق المضيف ، أو التعادل ، أو الفوز للفريق الضيف. لمعالجة مشاكل التصنيف هذه باستخدام التعلم الآلي، يمكن استخدام التصنيف متعدد الفئات

في دراسة ماسيزياك وآخرون Maszczyk et-al (٢٠١٤) بعنوان تطبيق النماذج العصبية والانحدار في التنبؤ بالنتائج الرياضية حيث كان الهدف من التحقيق هو مقارنة الانحدار والنماذج العصبية فيما يتعلق بدقتها في التنبؤ بالنتائج الرياضية. شملت الدراسة الحالية مجموعة من ١١٦ قاذف الرمح ، تتراوح أعمارهم بين 18 ± 0.5 سنة. تم إجراء التحليل الإحصائي في البداية عن طريق اختبار الاعتدالية Shapiro-Wilk واختبار التجانس. كشفت مصفوفة الارتباط وتحليل الانحدار عن أربعة متنبئات (خطوة متقاطعة ، قوة محددة للذراعين والجذع ، قوة محددة لعضلات البطن وقوة الفضة). بعد ذلك ، تم بناء نماذج الانحدار غير الخطي وكذلك النماذج العصبية. وبالتالي ، للتحقق من نماذجنا ، تم توقع النتائج الرياضية لمجموعة من ٢٠ قاذف رمح من المنتخب الوطني البولندي وإختبارها من خلال مقارنة التنبؤات التي تم إنشاؤها بواسطة النموذج مع بياناتهم الفعلية. أظهرت نماذج الانحدار غير الخطي وشبكات الإدراك المنظمة على شكل ٤-٣-١ قدرتها على إجراء التعميمات والتنبؤ بالنتائج الرياضية. علاوة على ذلك ، كان الفرق في قيمة الأخطاء المطلقة ١٢.٦٨ م (بين الأداء الحقيقي والمقدر في مجموعة من ٢٠ رماة الرمح البولنديين) ، وبالتالي تفضيل النماذج العصبية. يظهر تحليل البيانات المذكورة أعلاه بوضوح أن النموذج العصبي يعمل بشكل أفضل في التنبؤ بالنتائج الرياضية من نموذج الانحدار . لذلك ، أظهر التحقيق دقة أكبر بكثير في التنبؤ بنماذج الإدراك.

كما قام هيزلوود Heazlewood (٢٠٠٦) بدراسة بعنوان التنبؤ مقابل الواقع: استخدام النماذج الرياضية للتنبؤ بأداء النخبة في السباحة وألعاب القوى في الألعاب الأولمبية حيث حاول عدد من الدراسات التنبؤ بالأداء الأولمبي المستقبلي في ألعاب القوى والسباحة بناء على الاتجاهات المعروفة في الألعاب الأولمبية السابقة. استخدام البعض نماذج خطية لرسم التغيير والتنبؤ به ، بينما استخدام البعض الآخر طرقاً متعددة لتقدير المنحنى بناء على الدوال العكسية والسيني والتربيعي والمكعب والمركب واللوجستي والنمو والأسّي. عرضت النماذج غير الخطية بشكل أقرب إلى البيانات الفعلية

وإستخدامها للتنبؤ بتغيرات الأداء ١٠ و ١٠٠٠ و ١٠٠٠٠ سنة في المستقبل. تنبأت بعض النماذج أنه في بعض الأحداث، ستتقاطع الأوقات والمسافات بين الذكور والإناث وأن الإناث سيظهرون في النهاية أداءً متفوقاً على الذكور. تم تقييم التنبؤات باستخدام النماذج الرياضية القائمة على ألعاب القوى قبل عام ١٩٩٦ وعروض السباحة قبل عام ١٩٩٨ بناءً على مدى توقعهم للعدو السريع والقفزات، وأداء السباحة الحرة لكل من الذكور والإناث في الألعاب الأولمبية لعامي ٢٠٠٠ و ٢٠٠٤. وكشفت التحليلات أن التوقعات كانت أقرب بالنسبة لأحداث السباحة الأقصر حيث كانت الأوقات الفعلية لمسافة ٥٠ متراً للرجال و ٥٠ متراً و ١٠٠ متر للسيدات متطابقة تقريباً مع الأوقات المتوقعة. بالنسبة لكل من الرجال والنساء، مع زيادة مسافات السباحة، إنخفضت دقة النموذج التنبؤي، حيث كانت الأوقات المتوقعة أسرع بنسبة ٤.٥-٧٪ من الأوقات الفعلية المحققة. لم تكن الإتجاهات الحقيقية في بعض الأحداث التي تظهر حالياً انخفاضاً في الأداء متوقعة من خلال النماذج الرياضية، التي تنبأت بتحسينات متسقة في جميع الأحداث الرياضية والسباحة المختارة في هذه الدراسة.

هدف البحث :

دراسة مقارنة للقدرة التنبؤية لزمن السباحة من القياسات البدنية باستخدام نموذجين للانحدار ونموذج تحليل الشبكة العصبية؛ حيث أن الأساس في فكرة الدراسة هو تحديد أفضل طرق التنبؤ في المجال الرياضي من خلال ٣ نماذج هي الأكثر استخداماً وقد عمد الباحثين إلى تحقيق هدف البحث من خلال مجموعة بيانات فعلية في المجال الرياضي على السباحين لتحقيق الأغراض التالية:-

- ١- بناء نموذج تنبؤي باستخدام الانحدار المتعدد المتزايد وتطبيقه.
- ٢- بناء نموذج تنبؤي باستخدام الانحدار الألي المبني على الذكاء الاصطناعي وتطبيقه.
- ٣- بناء نموذج تنبؤي باستخدام الشبكة العصبية متعددة الطبقات وتطبيقه.
- ٤- المقارنة بين النماذج الثلاثة في القدرة التنبؤية.

تساؤلات البحث :

- ١- ماالنموذج التنبؤي باستخدام الانحدار المتعدد المتزايد وتطبيقه.
- ٢- هل يمكن بناء نموذج تنبؤي باستخدام الانحدار الألي المبني على الذكاء الاصطناعي وتطبيقه.
- ٣- ما هو النموذج تنبؤي باستخدام الشبكة العصبية متعددة الطبقات وتطبيقه.
- ٤- هل يمكن المقارنة بين النماذج الثلاثة في القدرة التنبؤية.

الإجراءات :

مجتمع البحث:

إشتمل مجتمع البحث علي سباحين أندية وأكاديميات السباحة بالإسكندرية والبحيرة.

عينة البحث :

تم إختيار عينة البحث بالطريقة العشوائية من السباحين والسباحات من مرحلة ١٤ و ١٥ سنة من أندية وأكاديميات السباحة الإسكندرية والبحيرة وقد بلغ عددهم ٩٠ سباح وسباحة والجدول التالي يوضح توزيع العينة حسب الجنس والمرحلة السنية .

جدول (١)
توصيف عينة البحث ككل في متغيرات النمو (السن - الطول - الوزن - العمر التدريبي)

(ن = ٩٠)

| المتغيرات | مقاييس النزعة المركزية | | | الانحراف المعياري | مقاييس شكل التوزيع | | اختبار شابيرو ويلك للإعتدالية |
|----------------|------------------------|--------|---------|-------------------|--------------------|----------|-------------------------------|
| | المتوسط الحسابي | الوسيط | المنوال | | التقلح | الإلتواء | |
| السن | 14,85 | 14,00 | 14,00 | 2,18 | 1,43- | 1,36- | 0.93 |
| الطول | 153.84 | 153.00 | 153.00 | 7.36 | 0.28 | 0.40 | 0.96 |
| الوزن | 45.39 | 44.00 | 39.00 | 7.06 | 1.14 | 1.19 | 0.94 |
| العمر التدريبي | 3.69 | 4.00 | 4.00 | 0.97 | 1.15 | 2.16 | 0.89 |

يتضح من نتائج الجدول (١) المتوسط الحسابي والوسيط والانحراف المعياري ومعامل الإلتواء لمتغيرات (السن ، الطول ، الوزن ، العمر التدريبي) لعينة البحث ، حيث أن قيم معاملات الإلتواء تقترب من الصفر ، كما يتضح أيضاً من إختبار شابيرو إعتدالية البيانات مما يؤكد إعتدالية البيانات لأفراد عينة البحث في المتغيرات الأولية .

جدول (٢)
عينة البحث من حيث النوع والسن

| الاجمالي | السن | | التكرارات | النوع |
|----------|--------|--------|-----------|----------|
| | ١٥ سنة | ١٤ سنة | | |
| 62 | 42 | 20 | العدد | ذكر |
| %68.9 | %46.7 | %22.2 | النسبة % | |
| 28 | 6 | 22 | العدد | انثى |
| %31.1 | %6.7 | %24.4 | النسبة % | |
| 90 | 48 | 42 | العدد | الاجمالي |
| %100.0 | %53.3 | %46.7 | النسبة % | |

يوضح جدول (٢) أعداد ونسب العينة من حيث نوعها وجنسها .

طرق جمع البيانات :

إختار الباحثين القياسات التي تمثل أهمية في اللياقة البدنية العامة والخاصة للاعبين في أغلب الأنشطة كنموذج للمتغيرات المستقلة ، وقد تمت القياسات وفق القواعد والأسس المتعارف عليها في تطبيق الإختبارات على جميع أفراد العينة المختارة وجميع الإختبارات لها معاملات علمية في أغلب الدراسات التي إستخدامتها و جدول (٣) يوضح الإختبارات

جدول (٣)
إختبارات القدرات البدنية والمستوى الرقمي والأجهزة المستخدمة

| م | الإختبار | هدف القياس | وحده القياس | الاجهزة و الادوات | رقم الملحق |
|---|--|--------------------------------------|-------------|-------------------|-------------------|
| ١ | الوثب العمودي لسارجنت | القدرة العضلية للرجلين | سم | طباشير | المتغيرات التابعة |
| ٢ | الانبطاح المائل وثني الذراعين خلال دقيقه | تحمل القوه لعضلات الذراعين و الكتفين | عدد | صفاره | |
| ٣ | إختبار ١٥٠٠م جرى | التحمل | الثانية | ساعه إيقاف | |
| ٤ | التعلق بالعقلة الشد لأعلى | تحمل القوه لعضلات الذراعين و الكتفين | عدد | عقلة | |
| ٥ | الجلوس من الرقود وضع ثني الركبتين | تحمل القوه لعضلات البطن | عدد | صفاره | |
| ٦ | الوثب العريض من الثبات | القدرة العضلية للرجلين | سم | شريط قياس | |
| ٧ | ٥٠٠ سباحه حره | مستوى رقمي | ثانيه | ساعه إيقاف | المتغير المستقل |

يتضح من جدول (٣) المتغيرات التابعة (المتغيرات البدنية) والمستقلة (٥٠٠ سباحه حره)

التصميم الاحصائي :





يعتمد تحقيق أهداف البحث على استخدام النماذج الأكثر استخداماً في التنبؤ والذي قد تم اختيارهم بناء على الدراسات النظرية على نفس مجموعة البيانات الفعلية والتي تشمل رقم السباحة المحقق كمتغير تابع أو مخرج لمجموعة البيانات البدنية كمتغيرات مستقلة أو مدخلات من النوع المتصل وقد راع الباحثين إضافة جنس السباح كمتغير لزيادة صعوبة بناء النموذج باعتباره متغير إسمي Binomial.

وقد تم استخدام المعالجات الإحصائية التالية:

- ١- تحليل الإنحدار بطريقة الإنحدار المتعدد المتزايد وفق المعطيات الأساسية لنموذج الإنحدار المتعدد في قبول المتغيرات وإستخلاص النموذج التنبؤي وتطبيق المعادلة التنبؤية لتحديد قدرة النموذج على التنبؤ.
- ٢- تحليل الإنحدار الألى المبني على الذكاء الاصطناعي للوصول إلى معادلة الإستخلاص وتطبيقها وذلك بعد تحويل البيانات وفق المعطيات التالية في الشكل (٢).
- ٣- تحليل الشبكة العصبية متعددة الطبقات للوصول الى المعادلة التنبؤية وتطبيقها.
- ٤- المقارنة بين نواتج التنبؤ في النماذج الثلاثة بإستخدام قياس التماثل بين المتغيرات الخاصة بالتنبؤ من النماذج الثلاثة مع الرقم الفعلي بإستخدام تحليل المسافات للتماثل بين المتغيرات والتي تتمثل في الرقم الفعلي والأرقام المتنبئ بها من النماذج المختلفة.

Linear Models

Linear models predict a continuous target based on linear relationships between the target and one

- [-] Fields
 - [-] Target
 - سباحة_50م 
 - [-] Predictors(Inputs)
 - Use partitioned data: false
- [-] Build Options
 - [-] Objectives
 - What is your main objective?: Create a standard model
 - [-] Basics
 - Automatically prepare data: true
 - Confidence Level(%): 95
 - [-] Model Selection
 - Model selection method: Forward stepwise
 - Criteria for entry/removal: Information Criterion (AICC)
 - Include effects with p-values less than: 0.05
 - Remove effects with p-values greater than: 0.1
 - Customize maximum number of effects in the final model: false
 - Customize maximum number of steps: false
 - [-] Advanced
 - Random seed: 54752075
- [-] Training Summary
 - Method: Linear Models
 - Records used in training: 90
 - Model type: Classification
 - User: profd
 - Application: IBM SPSS Statistics 29.0.2.0
 - Date built: September 20, 2024 at 9:29:12 PM EEST
- [-] Predictors used in model
 - الوثب 
 - نحمل 
 - العقلة 

شكل رقم (٢) معطيات نموذج الإنحدار الآلي المستخدم في بناء النموذج

عرض ومناقشة النتائج :

جدول (٤)

التوصيف الإحصائي للمتغيرات البدنية وسباحة (٥٠م) حره قيد البحث

(ن = ٩٠)

| الإعتدالية اختبار شبيرو- ويلك | مقاييس شكل التوزيع | | الانحراف المعياري | مقاييس النزعة المركزية | | | المتغيرات |
|--|--------------------|----------|-------------------|------------------------|--------|---------------|-----------------|
| | التقلطح | الإلتواء | | المنوال | الوسيط | الوسط الحسابي | |
| 0.98 | 0.02- | 0.07- | 5.18 | 53,٠٠ | 56.00 | 56.44 | الوثب العريض |
| 0.98 | 0.75- | 0.08 | 3.95 | 27.00 | 26.00 | 25.67 | الوثب العمودي |
| 0.99 | 0.13- | 0.31- | 7.24 | 40.00 | 39.00 | 38.33 | الضغط |
| 0.97 | 1.03- | 0.02 | 33.98 | 390,٠٠ | 430.00 | 427.22 | ١٥٠٠م جرى |
| 0.96 | 0.14 | 0.73- | 5.92 | 23.00 | 20.00 | 19.20 | الشد على العقلة |
| 0.97 | 1.23 | 0.50- | 11.67 | 62.00 | 64.50 | 64.77 | بطن |
| 0.93 | 0.62 | 0.89 | 7.58 | 31.56 | 39.62 | 40.16 | سباحة ٥٠م حره |

المتغيرات البدنية (المتغير التابع)

المتغير المستقل

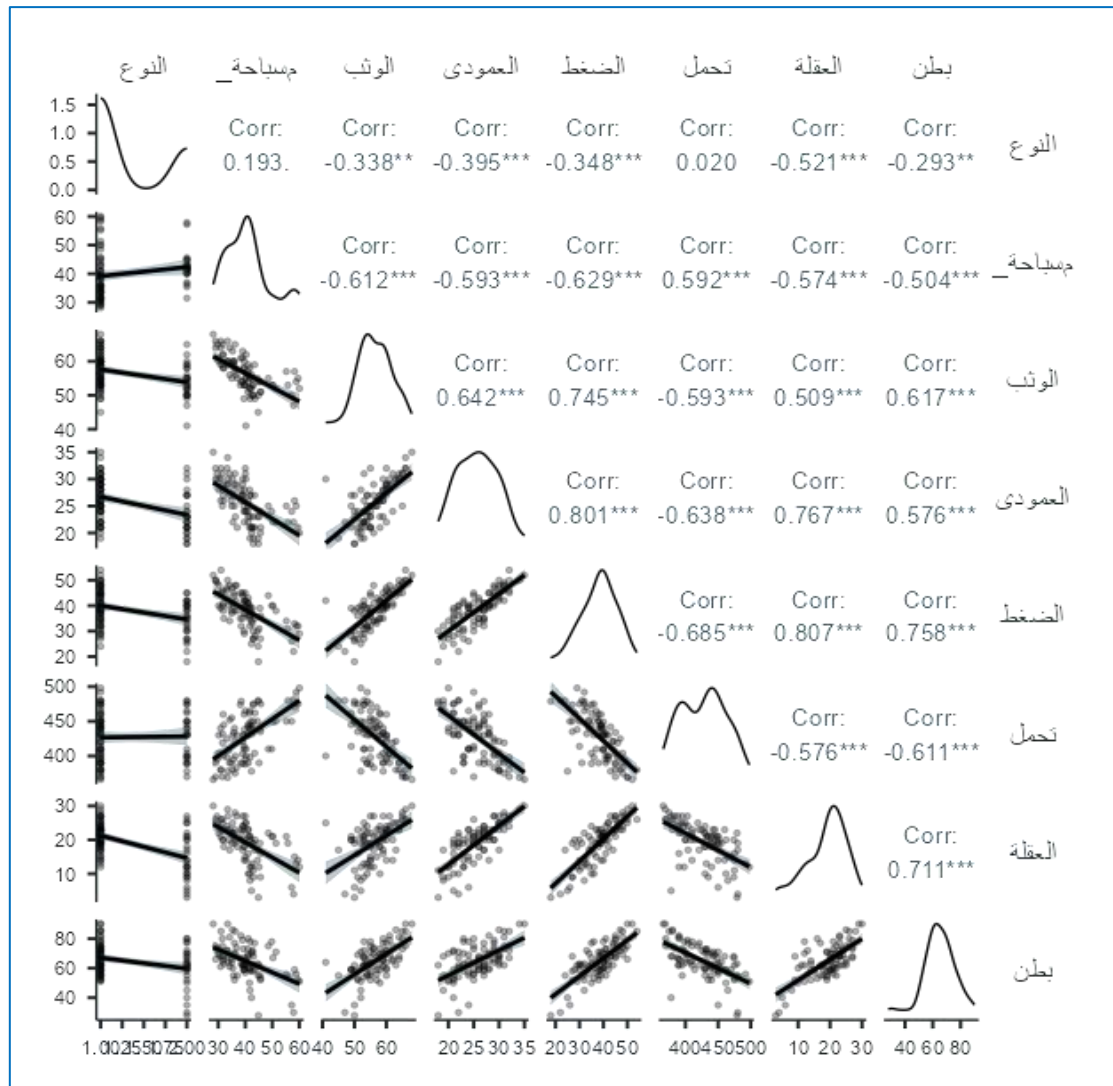
يتضح من جدول (٤) المتوسط الحسابي والانحراف المعياري ومعامل الاختلاف للمتغيرات البدنية وسباحة (٥٠م) حره أن معاملات الإلتواء تراوحت بين (- 0.73: 0.89) ، حيث أن قيم معاملات الإلتواء تقترب من الصفر ، كما يتضح أيضاً من اختبار شبيرو إعتدالية البيانات مما يؤكد إعتدالية البيانات لأفراد عينة البحث في المتغيرات البدنية وسباحة (٥٠م) حره قيد البحث .

جدول (٥)

مصفوفة الارتباط البسيط للمتغيرات البدنية والمتغير المستقل

| سباحة ٥٠م حره | بطن | الشد على العقلة | ١٥٠٠م جرى | الضغط | العمودي الوثب | الوثب العريض | الدالات الإحصائية التكرار |
|---------------|---------|-----------------|-----------|---------|---------------|--------------|---------------------------|
| | | | | | | 1 | الوثب العريض |
| | | | | | 1 | **,٦٤٢ | الوثب العمودي |
| | | | | 1 | **,٨٠١ | **,٧٤٥ | الضغط |
| | | | 1 | **,٦٨٥- | **,٦٣٨- | **,٥٩٣- | ١٥٠٠م جرى |
| | | 1 | **,٥٧٦- | **,٨٠٧ | **,٧٦٧ | **,٥٠٩ | الشد على العقلة |
| | 1 | **,٧١١ | **,٦١١- | **,٧٥٨ | **,٥٧٦ | **,٦١٧ | بطن |
| 1 | **,٥٠٤- | **,٥٧٤- | **,٥٩٢ | **,٦٢٩- | **,٥٩٣- | **,٦١٢- | سباحة ٥٠م حره |

يتضح من الجدول (٥) أن هناك علاقة بين جميع المتغيرات وبعضها وفقاً لمعنوية معامل الارتباط البسيط مما يشير إلى وجود علاقة خطية بين المتغيرات وبعضها وهو ما يظهر في الشكل (٣) وهو أحد شروط الإنحدار المتعدد مما يمكننا من استخدام مع المتغيرات ما عدا النوع وهو متغير ثنائي.



شكل (٣) (يجمع بين شكل التوزيع والإعتدالية والعلاقة الخطية بين المتغيرات)

أولاً: نموذج الإنحدار المتعدد المتزايد Multiple Stepwise Regression Model

جدول (٦)

ملخص معطيات نموذج الإنحدار المتعدد المتزايد

| Model Summary | | | | | | |
|-------------------|--------------------|-----------------------|-----------------|-----------------------|------------------|-----------------|
| Change Statistics | | الخطأ المعياري للتنبؤ | الإرتباط المصحح | مربع الإرتباط المتعدد | الإرتباط المتعدد | نموذج الإستخلاص |
| التغير في ف | التغير في الإرتباط | | | | | |
| **57.560 | 0.395 | 5.93 | 0.389 | 0.395 | ,٦٢٩ | 1 |
| **7.685 | 0.049 | 5.71 | 0.432 | 0.445 | ,٦٦٧ | 2 |
| *5.299 | 0.032 | 5.58 | 0.458 | 0.477 | ,٦٩٠ | 3 |

يتضح من الجدول (٦) والخاص ملخص النموذج المستخلص بإستخدام الإنحدار المتعدد المتزايد أنه أمكن إستخلاص النموذج من خلال ٣ خطوات ، وتم الإعتماد على النموذج لتصل إلى إرتباط متعدد (٠,٦٩٠) بنسبة إسهام (٤٥.٨ %).

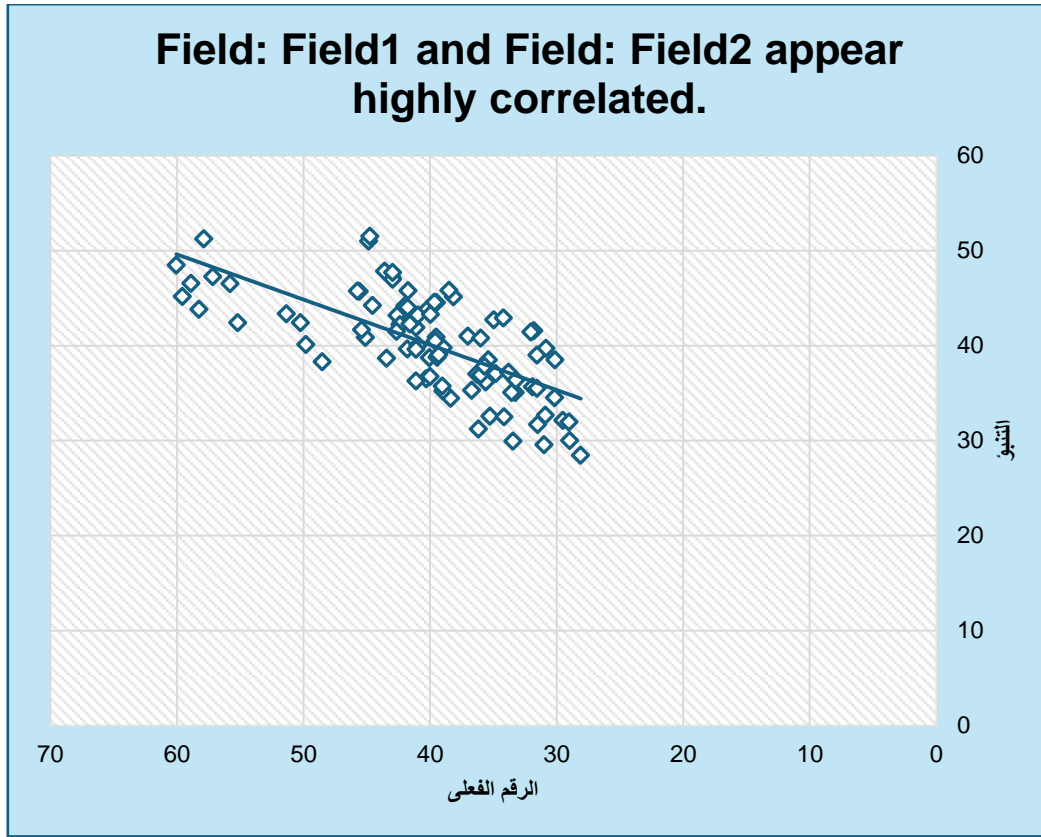
جدول (٧)

تحليل الإنحدار الخطي المتعدد المتزايد لمساهمة المتغيرات البدنية وسباحة (٥٠م) حره

ن=٩٠

| المعنوية | اختبارات ومعنويتها | القيم المعيارية | القيم اللامعيارية للإنحدار | | نموذج الإستخلاص |
|--|--------------------|-----------------------------|----------------------------|--------|-------------------------|
| | | Unstandardized Coefficients | الخطأ المعياري | الثابت | |
| 0.000 | **19.325 | 0.629- | 3.384 | 65.392 | الرقم القاطع (Constant) |
| 0.000 | **7.587 | | 0.087 | 0.658- | الضغط |
| 0.046 | *2.021 | — | 13.867 | 28.030 | الرقم القاطع (Constant) |
| 0.000 | **3.830 | 0.420- | 0.115 | 0.440- | الضغط |
| 0.007 | **2.772 | 0.304 | 0.024 | 0.068 | م ١٥٠٠ جري |
| 0.004 | **2.979 | — | 15.994 | 47.642 | الرقم القاطع (Constant) |
| 0.065 | 1.872 | 0.246- | 0.137 | 0.257- | الضغط |
| 0.018 | *2.409 | 0.262 | 0.024 | 0.058 | م ١٥٠٠ جري |
| 0.024 | *2.302 | 0.273- | 0.174 | 0.400- | الوثب العريض |
| <p>زمن سباحة ٥٠ متر حرة = ٤٧.٦٤٢ - ٠.٢٥٧ × الضغط + ٠.٠٥٨ × زمن جري ١٥٠٠ متر - ٠.٤٠٠ × مسافة الوثب العريض ± ٥.٥٧٧ ث</p> | | | | | المعادلة التنبؤية |

يتضح من جدول (٧) نتائج تحليل الإنحدار المتعدد المتزايد لمساهمة المتغيرات البدنية وسباحة (٥٠م) حره لدى السباحين ، حيث تم الاعتماد على خصائص النموذج الثالث بإستخدام المعادلة التنبؤية للحصول على زمن سباحة ٥٠ متر حرة في المرحلة الثالثة وقيم الثوابت الخاصة بمعادلة التنبؤ الناتجة من نموذج الإنحدار المتعدد المتزايد .



شكل (٤) يوضح العلاقة بين الرقم الفعلي والرقم من خلال معادلة التنبؤ بالنموذج الأول

وقد تم استخدام النموذج على البيانات الفعلية باستخدام معادلة التنبؤ الناتجة للتنبؤ بالرقم والشكل (٤) وهو يوضح العلاقة الخطية بين الرقم الفعلي والرقم الناتج من معادلة التنبؤ رغم المشكلات الخاصة بالتنبؤ من خلال نموذج الانحدار المتعدد.

ولذا يؤكد جينك ومينديز Genç and Mendes (٢٠٢٤) على الرغم من أن الانحدار المتعدد يستخدم على نطاق واسع في الممارسة العملية وأداة رائعة للتحقيق في علاقات المتغيرات التابعة والمستقلة ، إلا أنه لا يوصى به في كثير من الحالات بسبب الإفراط في تبسيط مشاكل العالم الحقيقي من خلال افتراض وجود علاقة خطية بين المتغيرات.

ولذا يوضح هونغوي يانغ Hongwei Yang (٢٠١٣) ويتم تنفيذ نمذجة الانحدار الخطي في برنامج الحزمة الإحصائية للعلوم الاجتماعية (SPSS) باستخدام إجراء الانحدار ، وهو قادر على ملاءمة النماذج الخطية وحساب مجموعة متنوعة من إحصائيات ملاءمة النموذج. ومع ذلك ، فإن هذا الجانب من البرنامج له أيضاً قيود حيث يقتصر على الطريقة التدريجية فقط مع عدم القدرة على إجراء إنحدار المجموعات الفرعية الممكنة ومحدودية تحويل البيانات واستخدامها من حيث الإحصاءات المثلى لإختيار المتغيرات والمعايير الحالية كما انه غير قادر على تحديد الحالات المتطرفة ومعالجتها تلقائياً، وغير قادر على إجراء مجموعة نموذجية لتحسين التنبؤات ، غير قادر على التفاعل مع خادم SPSS برنامج للعمل مع بيانات كبيرة جداً ولذا تقدم هذه المقالة التطور الجديد في SPSS المتعلق بالنمذجة الخطية الآلية، والذي يسرع عملية تحليل البيانات من خلال عدة آليات تلقائية . الإجراء الجديد هو تحسين على التقنية التقليدية في القيود الموضحة أعلاه. على وجه الخصوص، هناك مجالان رئيسيان للتحسين هما الإختيار التلقائي للمتغير وإعداد البيانات تلقائياً بصرف النظر عن نوعها. وهو ما سوف تستخدم في المرحلة الثانية من البحث .

ثانياً : النمذجة الخطية الآليه المعتمدة على الذكاء الاصطناعي

Automatic Linear Regression Modeling

نماذج الانحدار التلقائي هي فئة من نماذج التعلم الآلي (ML) التي تتنبأ تلقائياً بالمكون التالي في التسلسل عن طريق أخذ قياسات من المدخلات السابقة في التسلسل .

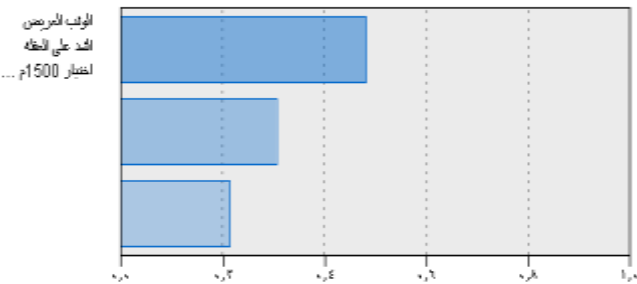
تفترض كلتا طريقتي الانحدار أن المتغيرات السابقة تشترك في علاقة خطية مع القيم المستقبلية . يتنبأ الانحدار الخطي بنتيجة تعتمد على عدة متغيرات مستقلة ضمن نفس الإطار الزمني. وفي الوقت نفسه، يستخدم الانحدار الذاتي نوعاً واحداً فقط من المتغيرات ولكنه يوسعه على عدة نقاط للتنبؤ بالنتيجة المستقبلية. على سبيل المثال، يمكنك استخدام الانحدار الخطي للتنبؤ بوقت تنقلاتك إستناداً إلى الطقس وحجم حركة المرور وسرعة المشي. وبدلاً من ذلك، يستخدم نموذج الانحدار التلقائي أوقات تنقلاتك السابقة لتقدير وقت الوصول لهذا اليوم.

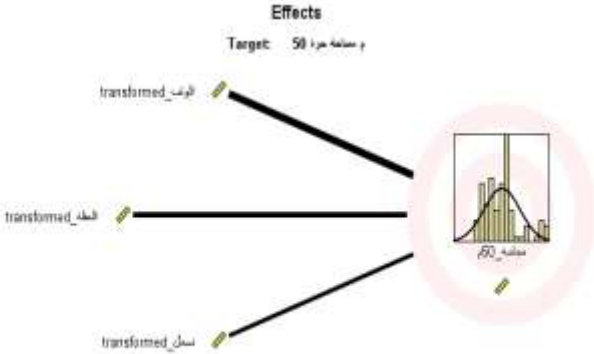
ونواتج تطبيق هذا النموذج في تحليل البيانات والمبنى على بعض معطيات الذكاء الصناعي قد يكون أكثر دقة وهو ما يعرضه الباحثين فيما يلي :-

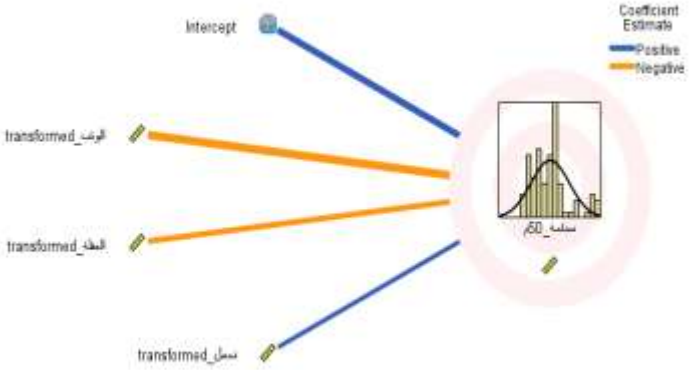
جدول (٨)

مخرجات تطبيق النموذج الآلي وتفسيره

| التفسير | نواتج التحليل | | | | | | | | |
|---|---|--------|----------------|----------------------------|----|------------------------|------------------|-----------------------|---------|
| <p>*ملخص النموذج</p> <p>التنبؤ بزمن ٥٠ متر سباحة حرة</p> <p>بالتحويل والاعداد للبيانات اليا بالطريقة المتعدد المتزايد بالإضافة</p> <p>معلومات المحك</p> | <p>Model Summary</p> <table border="1"> <tr> <td>Target</td> <td>50 م سباحة حرة</td> </tr> <tr> <td>Automatic Data Preparation</td> <td>On</td> </tr> <tr> <td>Model Selection Method</td> <td>Forward Stepwise</td> </tr> <tr> <td>Information Criterion</td> <td>٣٠٩,٤٤٣</td> </tr> </table> <p>The information criterion is used to compare to models. Models with smaller information criterion values fit better.</p> <p>Worse Better</p> <p>48,4%</p> <p>Accuracy</p> | Target | 50 م سباحة حرة | Automatic Data Preparation | On | Model Selection Method | Forward Stepwise | Information Criterion | ٣٠٩,٤٤٣ |
| Target | 50 م سباحة حرة | | | | | | | | |
| Automatic Data Preparation | On | | | | | | | | |
| Model Selection Method | Forward Stepwise | | | | | | | | |
| Information Criterion | ٣٠٩,٤٤٣ | | | | | | | | |
| <p>*دقة النموذج ٥٠%</p> | | | | | | | | | |

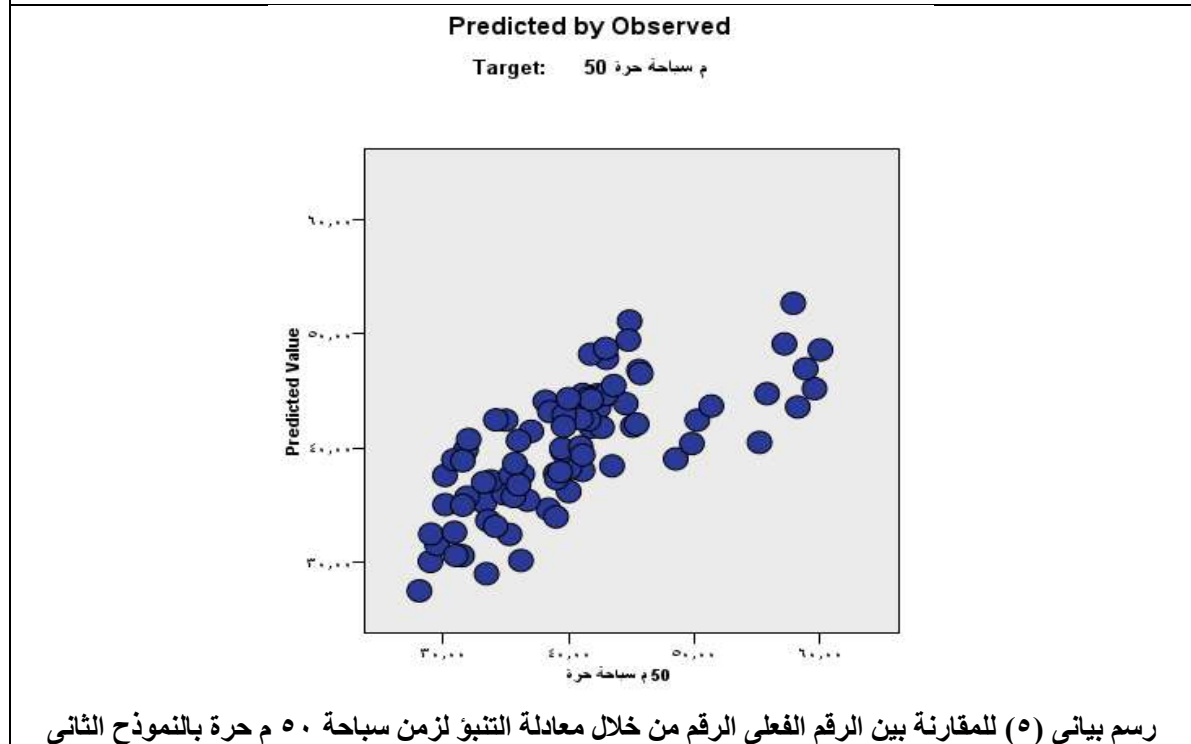
| التفسير | نواتج التحليل | | | | | | | | | | | | | | | | | | | | | |
|--|---|---------------|------------|---------------|---------------------|-----------------|---------------|----------------------|-----------|---------------|-----------------------|-----------|---------------|---------------------|-----------|---------------|-------------------|-----------|---------------|--------------------|-----------|---------------|
| <p>اعداد البيانات</p> <p>تعرض طريقة العرض هذه معلومات حول الحقول التي تم استبعادها وكيفية اشتقاق الحقول المحولة في خطوة الإعداد التلقائي للبيانات (ADP). بالنسبة لكل حقل تم تحويله أو استبعاده، يسرد الجدول اسم الحقل ودوره في التحليل والإجراء الذي اتخذته خطوة ADP. يتم فرز الحقول حسب الترتيب الأبجدي التصاعدي لأسماء الحقول.</p> | <p style="text-align: center;">Automatic Data Preparation</p> <p style="text-align: center;">م سباحة حرة 50 Target:</p> <table border="1" data-bbox="711 479 1310 1010"> <thead> <tr> <th>Field</th> <th>Role</th> <th>Actions Taken</th> </tr> </thead> <tbody> <tr> <td>(الضغط_transformed)</td> <td>Predictor</td> <td>Trim outliers</td> </tr> <tr> <td>(العقلة_transformed)</td> <td>Predictor</td> <td>Trim outliers</td> </tr> <tr> <td>(العمودى_transformed)</td> <td>Predictor</td> <td>Trim outliers</td> </tr> <tr> <td>(الوثب_transformed)</td> <td>Predictor</td> <td>Trim outliers</td> </tr> <tr> <td>(بطن_transformed)</td> <td>Predictor</td> <td>Trim outliers</td> </tr> <tr> <td>(تحمل_transformed)</td> <td>Predictor</td> <td>Trim outliers</td> </tr> </tbody> </table> <p>If the original field name is X, then the transformed field is displayed as (X transformed). The original field is excluded from the analysis and the transformed field is included instead.</p> | Field | Role | Actions Taken | (الضغط_transformed) | Predictor | Trim outliers | (العقلة_transformed) | Predictor | Trim outliers | (العمودى_transformed) | Predictor | Trim outliers | (الوثب_transformed) | Predictor | Trim outliers | (بطن_transformed) | Predictor | Trim outliers | (تحمل_transformed) | Predictor | Trim outliers |
| Field | Role | Actions Taken | | | | | | | | | | | | | | | | | | | | |
| (الضغط_transformed) | Predictor | Trim outliers | | | | | | | | | | | | | | | | | | | | |
| (العقلة_transformed) | Predictor | Trim outliers | | | | | | | | | | | | | | | | | | | | |
| (العمودى_transformed) | Predictor | Trim outliers | | | | | | | | | | | | | | | | | | | | |
| (الوثب_transformed) | Predictor | Trim outliers | | | | | | | | | | | | | | | | | | | | |
| (بطن_transformed) | Predictor | Trim outliers | | | | | | | | | | | | | | | | | | | | |
| (تحمل_transformed) | Predictor | Trim outliers | | | | | | | | | | | | | | | | | | | | |
| <p>متغيرات التنبؤ حسب درجة أهميتها (القيمة العظمى = 1)</p> <ul style="list-style-type: none"> - الوثب العريض ٤.٨٢ - الشد على العقلة ٣.٠٥ - ١٥٠٠ متر جرى ٢.١٣ <p>يُظهر هذا العرض المتنبئين في النموذج النهائي حسب ترتيب الأهمية. ويتم ضبطها بحيث يكون مجموع قيم الأهمية هو ١.</p> <p>لاحظ أن ترتيب ترتيب المتنبئ من حيث الأهمية ليس بالضرورة هو الترتيب الذي تمت إضافته به إلى النموذج .</p> | <p style="text-align: center;">Predictor Importance</p> <p style="text-align: center;">م سباحة حرة 50 Target:</p>  <table border="1" data-bbox="711 1406 1350 1688"> <thead> <tr> <th>Variable</th> <th>Importance</th> </tr> </thead> <tbody> <tr> <td>الوثب العريض</td> <td>4.82</td> </tr> <tr> <td>الشد على العقلة</td> <td>3.05</td> </tr> <tr> <td>١٥٠٠ متر جرى</td> <td>2.13</td> </tr> </tbody> </table> <p>Least Important Most Important</p> | Variable | Importance | الوثب العريض | 4.82 | الشد على العقلة | 3.05 | ١٥٠٠ متر جرى | 2.13 | | | | | | | | | | | | | |
| Variable | Importance | | | | | | | | | | | | | | | | | | | | | |
| الوثب العريض | 4.82 | | | | | | | | | | | | | | | | | | | | | |
| الشد على العقلة | 3.05 | | | | | | | | | | | | | | | | | | | | | |
| ١٥٠٠ متر جرى | 2.13 | | | | | | | | | | | | | | | | | | | | | |

| التفسير | نواتج التحليل | | | | | | | | | | | | | | | | | | | | | |
|---|---|------------|------|------------|-------------------|------|--|-------------------|------|------|--------------------|------|------|------------------|------|------|----------|--|--|-----------------|--|--|
| <p>جدول يوضح درجة الأهمية ومعنويتها لتوضيح الشكل السابق الوثب العقلة التحمل</p> | <p style="text-align: center;">Effects م سباحة حرة 50 Target: 50</p> <table border="1" data-bbox="710 521 1305 1099"> <thead> <tr> <th>Source</th> <th>Sig.</th> <th>Importance</th> </tr> </thead> <tbody> <tr> <td>Corrected Model ▼</td> <td>.000</td> <td></td> </tr> <tr> <td>transformed_الوثب</td> <td>.001</td> <td>.482</td> </tr> <tr> <td>transformed_العقلة</td> <td>.008</td> <td>.300</td> </tr> <tr> <td>transformed_تحمل</td> <td>.020</td> <td>.213</td> </tr> <tr> <td>Residual</td> <td></td> <td></td> </tr> <tr> <td>Corrected Total</td> <td></td> <td></td> </tr> </tbody> </table> | Source | Sig. | Importance | Corrected Model ▼ | .000 | | transformed_الوثب | .001 | .482 | transformed_العقلة | .008 | .300 | transformed_تحمل | .020 | .213 | Residual | | | Corrected Total | | |
| Source | Sig. | Importance | | | | | | | | | | | | | | | | | | | | |
| Corrected Model ▼ | .000 | | | | | | | | | | | | | | | | | | | | | |
| transformed_الوثب | .001 | .482 | | | | | | | | | | | | | | | | | | | | |
| transformed_العقلة | .008 | .300 | | | | | | | | | | | | | | | | | | | | |
| transformed_تحمل | .020 | .213 | | | | | | | | | | | | | | | | | | | | |
| Residual | | | | | | | | | | | | | | | | | | | | | | |
| Corrected Total | | | | | | | | | | | | | | | | | | | | | | |
| <p>رسم يوضح المتغيرات التي يشملها النموذج للتنبؤ بزمن 50 متر سباحة حرة عرض بياني لجدول ANOVA التقليدي. يتم ترتيب المتنبئين من الأعلى إلى الأسفل حسب الأهمية، ويعتمد سمك كل خط متصل على الأهمية الإحصائية للتأثير.</p> | <p style="text-align: center;">Effects م سباحة حرة 50 Target: 50</p>  | | | | | | | | | | | | | | | | | | | | | |

| التفسير | نواتج التحليل | | | | | | | | | | | | | | | | | | | | | | | | | | | | | | | | | | | |
|--|---|--------|----------------|--------|-------------|---|-------------------|-----------|---|---------|--------|-------------------|---------|---|---------|--------|--------------------|---------|---|---------|-------|--------------------|---------|---|---------|-------|----------|-----------|----|--------|--|-----------------|-----------|----|--|--|
| <p>تحليل التباين لعناصر النموذج ومستوى معنوية ف عند ٠.٠١ ما عدا التحمل عند ٠.٠٥</p> | <p style="text-align: center;">Effects</p> <p style="text-align: center;">Target: 50 م سباحة حرة</p> <table border="1" data-bbox="740 495 1331 1016"> <thead> <tr> <th>Source</th> <th>Sum of Squares</th> <th>df</th> <th>Mean Square</th> <th>F</th> </tr> </thead> <tbody> <tr> <td>Corrected Model ▼</td> <td>٢,٥١١,٩٧٦</td> <td>٣</td> <td>٨٥٣,٩٩٢</td> <td>٢٨,٧٩٩</td> </tr> <tr> <td>transformed_الوقت</td> <td>٣٤٩,٥٢٤</td> <td>١</td> <td>٣٤٩,٥٢٤</td> <td>١١,٧٨٧</td> </tr> <tr> <td>transformed_العملة</td> <td>٢٢١,١٤٦</td> <td>١</td> <td>٢٢١,١٤٦</td> <td>٧,٤٥٨</td> </tr> <tr> <td>transformed_التحمل</td> <td>١٥٤,٨٠٩</td> <td>١</td> <td>١٥٤,٨٠٩</td> <td>٥,٢٢١</td> </tr> <tr> <td>Residual</td> <td>٢,٥٥٠,٢٤٣</td> <td>٨٦</td> <td>٢٩,١٥٤</td> <td></td> </tr> <tr> <td>Corrected Total</td> <td>٥,١١٢,٢١٩</td> <td>٨٩</td> <td></td> <td></td> </tr> </tbody> </table> | Source | Sum of Squares | df | Mean Square | F | Corrected Model ▼ | ٢,٥١١,٩٧٦ | ٣ | ٨٥٣,٩٩٢ | ٢٨,٧٩٩ | transformed_الوقت | ٣٤٩,٥٢٤ | ١ | ٣٤٩,٥٢٤ | ١١,٧٨٧ | transformed_العملة | ٢٢١,١٤٦ | ١ | ٢٢١,١٤٦ | ٧,٤٥٨ | transformed_التحمل | ١٥٤,٨٠٩ | ١ | ١٥٤,٨٠٩ | ٥,٢٢١ | Residual | ٢,٥٥٠,٢٤٣ | ٨٦ | ٢٩,١٥٤ | | Corrected Total | ٥,١١٢,٢١٩ | ٨٩ | | |
| Source | Sum of Squares | df | Mean Square | F | | | | | | | | | | | | | | | | | | | | | | | | | | | | | | | | |
| Corrected Model ▼ | ٢,٥١١,٩٧٦ | ٣ | ٨٥٣,٩٩٢ | ٢٨,٧٩٩ | | | | | | | | | | | | | | | | | | | | | | | | | | | | | | | | |
| transformed_الوقت | ٣٤٩,٥٢٤ | ١ | ٣٤٩,٥٢٤ | ١١,٧٨٧ | | | | | | | | | | | | | | | | | | | | | | | | | | | | | | | | |
| transformed_العملة | ٢٢١,١٤٦ | ١ | ٢٢١,١٤٦ | ٧,٤٥٨ | | | | | | | | | | | | | | | | | | | | | | | | | | | | | | | | |
| transformed_التحمل | ١٥٤,٨٠٩ | ١ | ١٥٤,٨٠٩ | ٥,٢٢١ | | | | | | | | | | | | | | | | | | | | | | | | | | | | | | | | |
| Residual | ٢,٥٥٠,٢٤٣ | ٨٦ | ٢٩,١٥٤ | | | | | | | | | | | | | | | | | | | | | | | | | | | | | | | | | |
| Corrected Total | ٥,١١٢,٢١٩ | ٨٩ | | | | | | | | | | | | | | | | | | | | | | | | | | | | | | | | | | |
| <p>رسم يوضح الاتجاهات السالبة والموجبة لعناصر النموذج المستخلص واتجاه القاطع انقر فوق الصورة المصغرة لعرض المعاملات. هذا شكل لجدول تقديرات المعلمات التقليدية. يقوم بفرز التأثيرات من أعلى إلى أسفل عن طريق تقليل أهمية التوقع. يتم تلوين خطوط التوصيل في الرسم التخطيطي بناءً على علامة المعامل (انظر مفتاح الرسم التخطيطي) ويتم ترجيحها بناءً على أهمية المعامل، مع عرض أكبر للخط يتوافق مع معاملات أكثر أهمية</p> | <p style="text-align: center;">Coefficients</p> <p style="text-align: center;">Target: 50 م سباحة حرة</p>  | | | | | | | | | | | | | | | | | | | | | | | | | | | | | | | | | | | |

| التفسير | نواتج التحليل | | | | | | | | | | | | | | | | | | | | | | | | | | | | | | | | | | | | | | | | | | | | | | | | |
|---|---|------------|---------------|------------|-------------------------|--------|-------------------------|--|------------|--|--|--|--|--|-------|-------|--|-----------|--------|--------|-------|------|--------|--------|--|-------------------|--------|-------|--------|-------|--------|--------|-------|--------------------|-------|-------|--------|-------|-------|-------|-------|------------------|--------|-------|--------|-------|--------|--------|-------|
| التعبير الرقمي للشكل السابق موضحا قيم الثوابت للمتغيرات والقاطع | <p style="text-align: center;">Coefficients م سباحة حرة 50</p> <table border="1"> <thead> <tr> <th>Model Term</th> <th>Coefficient ▼</th> <th>Std. Error</th> <th>t</th> <th>Sig.</th> <th colspan="2">95% Confidence Interval</th> <th>Importance</th> </tr> <tr> <td></td> <td></td> <td></td> <td></td> <td></td> <th>Lower</th> <th>Upper</th> <td></td> </tr> </thead> <tbody> <tr> <td>Intercept</td> <td>42.471</td> <td>14.811</td> <td>2.867</td> <td>.004</td> <td>11.088</td> <td>73.854</td> <td></td> </tr> <tr> <td>transformed_الوثب</td> <td>-1.471</td> <td>0.173</td> <td>-8.500</td> <td><.001</td> <td>-1.817</td> <td>-1.125</td> <td>0.001</td> </tr> <tr> <td>transformed_العقلة</td> <td>0.321</td> <td>0.024</td> <td>13.375</td> <td><.001</td> <td>0.273</td> <td>0.369</td> <td>0.001</td> </tr> <tr> <td>transformed_محمل</td> <td>-0.057</td> <td>0.017</td> <td>-3.350</td> <td><.001</td> <td>-0.091</td> <td>-0.023</td> <td>0.001</td> </tr> </tbody> </table> | Model Term | Coefficient ▼ | Std. Error | t | Sig. | 95% Confidence Interval | | Importance | | | | | | Lower | Upper | | Intercept | 42.471 | 14.811 | 2.867 | .004 | 11.088 | 73.854 | | transformed_الوثب | -1.471 | 0.173 | -8.500 | <.001 | -1.817 | -1.125 | 0.001 | transformed_العقلة | 0.321 | 0.024 | 13.375 | <.001 | 0.273 | 0.369 | 0.001 | transformed_محمل | -0.057 | 0.017 | -3.350 | <.001 | -0.091 | -0.023 | 0.001 |
| Model Term | Coefficient ▼ | Std. Error | t | Sig. | 95% Confidence Interval | | Importance | | | | | | | | | | | | | | | | | | | | | | | | | | | | | | | | | | | | | | | | | | |
| | | | | | Lower | Upper | | | | | | | | | | | | | | | | | | | | | | | | | | | | | | | | | | | | | | | | | | | |
| Intercept | 42.471 | 14.811 | 2.867 | .004 | 11.088 | 73.854 | | | | | | | | | | | | | | | | | | | | | | | | | | | | | | | | | | | | | | | | | | | |
| transformed_الوثب | -1.471 | 0.173 | -8.500 | <.001 | -1.817 | -1.125 | 0.001 | | | | | | | | | | | | | | | | | | | | | | | | | | | | | | | | | | | | | | | | | | |
| transformed_العقلة | 0.321 | 0.024 | 13.375 | <.001 | 0.273 | 0.369 | 0.001 | | | | | | | | | | | | | | | | | | | | | | | | | | | | | | | | | | | | | | | | | | |
| transformed_محمل | -0.057 | 0.017 | -3.350 | <.001 | -0.091 | -0.023 | 0.001 | | | | | | | | | | | | | | | | | | | | | | | | | | | | | | | | | | | | | | | | | | |

معادلة التنبؤ زمن سباحة 50 متر حرة = 52.520 - 0.502 × الوثب - 0.341 × العقلة + 0.053 × التحمل ± 15.801



يوضح الجدول (٧) نتائج بناء النموذج ومعادلة التنبؤ الناتجة وقيم الثوابت الخاصة بمعادلة التنبؤ الناتجة من نموذج الإنحدار الألى. وقد تم استخدام النموذج على البيانات الفعلية بما فيها النوع وهو المتغير الأسمى في البيانات باستخدام معادلة التنبؤ الناتجة للتنبؤ من النموذج لتوليد رقم السباحة من خلال التنبؤ

والشكل (5) يوضح العلاقة الخطية بين الرقم الفعلي والرقم الناتج من معادلة التنبؤ.

ويوضح العباسي (٢٠٢٣) تعتبر الشبكات العصبية من أهم مجالات الذكاء الاصطناعي وتعرف بأنها نظام لبناء المعلومات لها خصائص معينة في الأداء متشابهة مع الشبكات العصبية البيولوجية وقد زاد الإهتمام بها في السنوات الأخيرة وتطوير استخدامها كبديل عن النماذج الإحصائية التقليدية وقد اثبتت قدرتها على التنبؤ بدقة وسهولة مقارنة بالطرق التقليدية للتنبؤ ويرجع إلى المعالجة العصبية المبني على الذكاء الاصطناعي والتي تتيح تعليم الأله حيث أن الشبكات يتم تدريبها واختبارها من خلال البيانات المخزنة ومن ثم فإن استخدام الشبكات العصبية ليس هدفا في حد ذاته إنما أداء فعالة ووسيلة مضمونة للتنبؤ

ثالثاً: نموذج الشبكة العصبية متعددة الطبقات Multilayer Perceptron Neural Network Model.

يمكن للشبكة العصبية متعددة الطبقات أن تنتج نموذجاً تنبؤياً للمتغير التابع على أساس وظيفة المتغيرات المستقلة. في إطار هذه الدراسة ، المتغير التابع هو مجموعة من المتغيرات التي تؤثر في الأداء بصفة عامة وفي السباحة بصفة خاصة وهو ما يوضحه جدول المعلومات الأساسية للشبكة .

جدول (٩)

توزيع العينة المستخدم في بناء النموذج مقسم على التدريب والاختبار

| Case Processing Summary | | | |
|-------------------------|-------|--------------|--------------|
| النسبة | العدد | توزيع العينة | |
| 77.8% | 70 | للتدريب | توزيع العينة |
| 22.2% | 20 | للاختبار | |
| 100.0% | 90 | المرجعية | |
| — | 0 | مستبعد | |
| — | 90 | الاجمالي | |

لتطبيق تقنية الشبكة العصبية، يجب تقسيم مجموعة البيانات إلى ثلاث مجموعات. التدريب والاختبار والرفض. إختار الباحثين "تعيين الحالات عشوائياً بناءً على العدد النسبي للحالات حيث يتضح من الجدول (٩) ملخص أعداد البيانات بتوزيع العينة على تشغيل النموذج حيث تم استخدام (٧٧.٨%) من اجمالي العينة لتدريب النموذج ثم (٢٢.٢ %) من اجمالي العينة لإختبار النموذج .

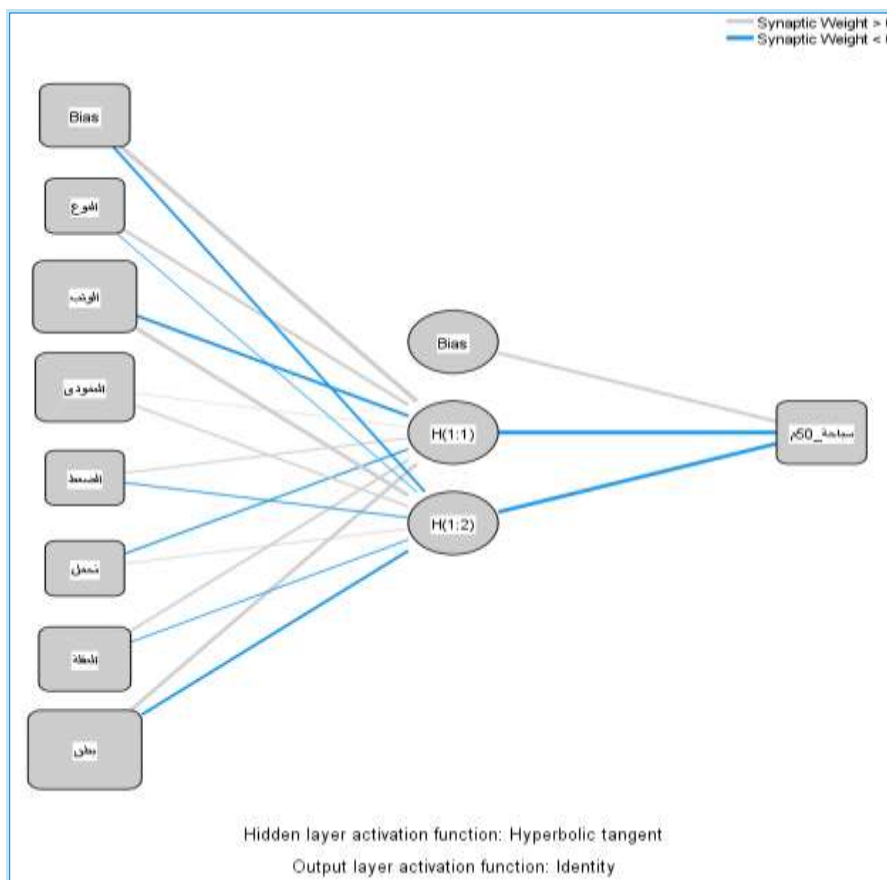
جدول (١٠)

يوضح المعلومات الأساسية للشبكة العصبية

| معلومات الشبكة | | | |
|------------------------|---------------------------------------|--------------------|--------------------------|
| النوع | 1 | المتغيرات المشتركة | طبقة الإدخال |
| الوثب العريض | 2 | | |
| الوثب العمودي | 3 | | |
| الضغط | 4 | | |
| تحمل إختبار ١٥٠٠م جرى | 5 | | |
| العقلة الشد على العقلة | 6 | | |
| بطن | 7 | | |
| 7 | عدد الوحدات | | |
| Standardized | طريقة إعادة القياس للمتغيرات المشتركة | | |
| 1 | عدد الطبقات المخفية | | الطبقة (الطبقات) المخفية |
| 2 | Number of Units in Hidden Layer 1 | | |
| Hyperbolic tangent | Activation Function | | طبقة الإخراج |
| ٥٠ م سباحة حرة | 1 | المتغيرات التابعة | |
| 1 | Number of Units | | |
| Standardized | طريقة إعادة القياس لتوابع المقياس | | |
| Identity | Activation Function Softmax | | |
| Sum of Squares | Error Function Cross-entropy | | |

يعرض هذا الجدول (١٠) معلومات حول الشبكة العصبية وهو مفيد لضمان صحة المواصفات. حيث يوضح عدد الوحدات في طبقة الإدخال (٧ متغيرات) وهو عدد المتغيرات الداخلة بالإضافة إلى العدد الإجمالي لمستويات العوامل (١)، ووظيفة التنشيط ووظيفة الخطأ المطبقة، ووظيفة تنشيط Softmax لطبقة الإخراج ووظيفة خطأ الإنتروبيا المتقاطعة لخطأ الحوسبة في عينات التدريب والاختبار حيث يتم إنشاء وحدة إخراج منفصلة لكل فئة، ليصبح المجموع وحدة في طبقة الإخراج ، ثم اختار اختيار البنية التلقائي وحدة واحدة في الطبقة المخفية. جميع معلومات الشبكة الأخرى الإفتراضية.

حيث يوضح عثمان (٢٠٢٢) من خلال رسالة الدكتوراه مكونات الشبكة العصبية متعددة الطبقات حيث تتكون من طبقة المدخلات Input Layer وهى الطبقة الأولى في الشبكة وتقوم بإستقبال بيانات المتغيرات المستقلة، ثم الطبقة الخفية Hidden Layer وهى الطبقة التي تلى طبقة المدخلات وقد تكون أكثر من طبقة حيث تقوم هذه الطبقة أو الطبقات بتصنيف وتمييز وتحليل المدخلات بإعطائها وزن نسبي لكل منها ثم بإستخدام الدوال التحليلية تقوم بتعديل الأوزان لتحقيق أفضل نتيجة ، وأخيراً تأتي طبقة المخرجات Output Layer والتي تظهر النتائج النهائية (١٨٧). وهو ما يظهر في الشكل (٦).



شكل (٦)

يوضح الشبكة العصبية متعددة الطبقات للتنبؤ بزمن سباحة ٥٠ متر حرة

وتعرف هذه البنية بإسم بنية التغذية الأمامية لأن الإتصالات في الشبكة تتدفق للأمام من طبقة الإدخال إلى طبقة الإخراج دون أي حلقات تغذية مرتدة. ويوضح لون الخط في الرسم مقدار المعامل التنبؤى للشبكة واللون يعبر عن الإتجاه السالب والموجب .

١. الوصف: توضيح بنية الشبكة العصبية، بما في ذلك طبقات الإدخال والإخفاء والإخراج .
الغرض: يساعد الجمهور على تصور كيفية تدفق البيانات عبر الشبكة وفهم مدى تعقيد النموذج .

جدول (١١)
ملخص النموذج المستخلص

| ملخص النموذج | | |
|---|--|-----------------------|
| 11.742 | Sum of Squares Error (خطأ مجموع المربعات) | Training (التدريب) |
| 0.340 | Relative Error (خطأ نسبي) | |
| 1 consecutive step(s) with no decrease in error | Stopping Rule Used | |
| 0:00:00.01 | Training Time (وقت التدريب) | |
| 3.466 | Sum of Squares Error (خطأ مجموع المربعات) | Testing (الإختبار) |
| 0.276 | Relative Error | |
| Dependent Variable: م سباحة حرة 50 سباحة ٥٠ م | | |
| Error computations are based on the testing sample. | | |

يعرض جدول (١١) ملخص النموذج معلومات حول نتائج التدريب وتطبيق الشبكة النهائية على العينة ، وهو ملخص لنموذج الشبكة العصبية. يظهر خطأ الإنترنت المتقاطعة أثناء التدريب بمقدار (0.340) والاختبار بمقدار (0.276)، حيث يظهر خطأ الإنترنت المتقاطعة بسبب وظيفة تنشيط Softmax في طبقة الإخراج. توقف التدريب بإستخدام خطوة واحدة متتالية دون أي انخفاض واضح في الخطأ. حيث أن وظيفة الخطأ أثناء مرحلة التدريب والاختبار، تشير القيمة الصغيرة (= 11.742) ويؤكد الخطأ إلى قوة النموذج للتنبؤ بنتيجة الدورة التدريبية ، وتشير القيم المنخفضة إلى دقة تنبؤية أفضل.

جدول (١٢)
تقديرات المعلمات الإحصائية لتكوين الشبكة

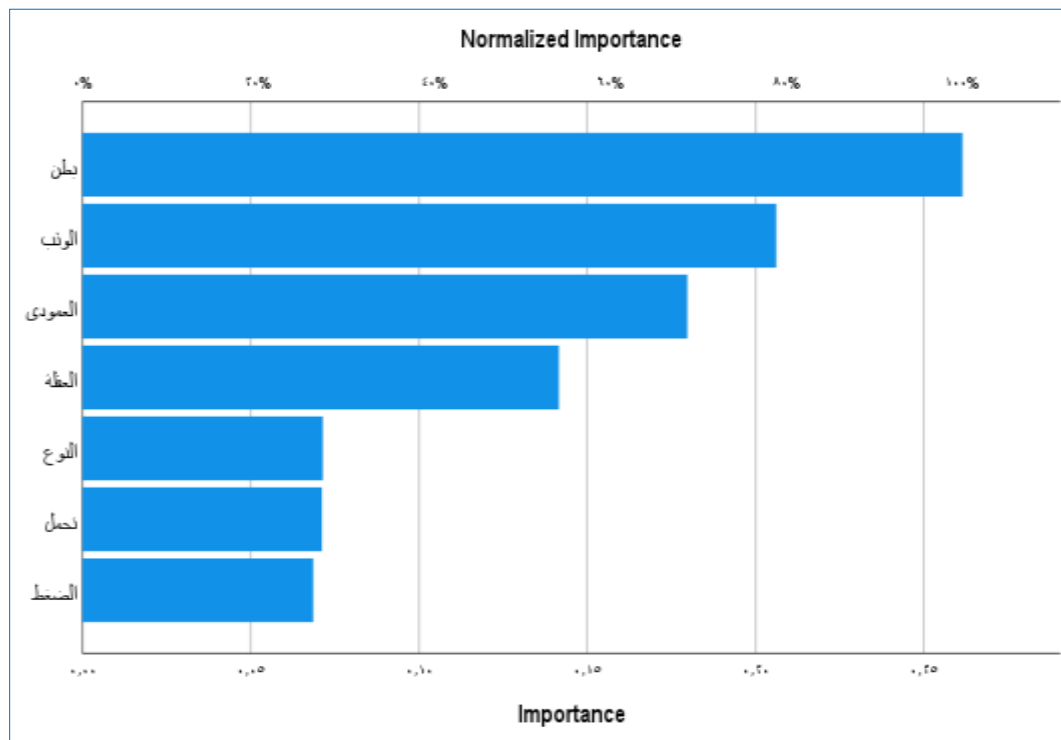
| الأوزان | | Predictor (المتنبئ) | |
|--------------|------------------|---------------------|----------|
| طبقة الإخراج | الطبقة المخفية ١ | | |
| سباحة ٥٠ م | H(1:2) | H(1:1) | |
| | 0.396- | 1.797 | (التحيز) |
| | 0.080- | 0.784 | النوع |
| | 1.038 | 0.668- | الوثب |
| | 0.361 | 0.065 | العمودي |
| | 0.156- | 0.216 | الضغط |
| | 0.092 | 0.315- | تحمل |
| | 0.096- | 0.444 | العقلة |
| | 0.607- | 0.942 | بطن |
| 0.815 | | | (التحيز) |
| 1.474- | | | H(1:1) |
| 0.996- | | | H(1:2) |

يوضح الجدول (١٢) الأوزان المخصصة لكل معلم من معالم الإدخال أو الطبقة المخفية في الشبكة وكذا معامل التحيز (خطأ التحيز) في التنبؤ حيث يعبر كل معلم في الإدخال عن أهميته في التنبؤ بالمخرجات وبالتالي يحدد المتغيرات الأكثر تأثيراً في التنبؤ حيث يتضح من الجدول أن إختبار البطن كان أكثرها أهمية بمعامل بلغ ٠.٩٤٢ بينما كان الوثب العمودي المتجه للعقدة الأولى ٠.٠٦٥ والمتجه للعقدة الثانية ٠.٣٦١. وبالتالي فإن قياس البطن كان له أهمية كبيرة في التنبؤ وتتضح الأهمية النسبية للمتغيرات في التنبؤ في جدول الأهمية النسبية للمدخلات المباشر والمعياري بجدول رقم (١٢) والخاص بالأهمية النسبية والأهمية المعدلة معيارياً لمدخلات الشبكة العصبية ، وشكل رقم (٧) والخاص بالأهمية النسبية المعيارية لمتغيرات الإدخال في التنبؤ بالمخرجات ، وقيم معالم الطبقة المخفية مع المخرجات بلغت (-٠.٩٩٦) وهي درجة يسלט الضوء على قدرة النموذج العالية في التنبؤ ، وبشكل عام يوضح هذا التحليل أن الشبكة العصبية متعددة الطبقات تتنبأ بشكل فعال بالنتائج بناءً على ميزات الإدخال الرئيسية، فإن هذه النتائج تمهد الطريق للبحث المستقبلي والتطبيقات العملية في المجال الرياضي .

جدول (١٣)

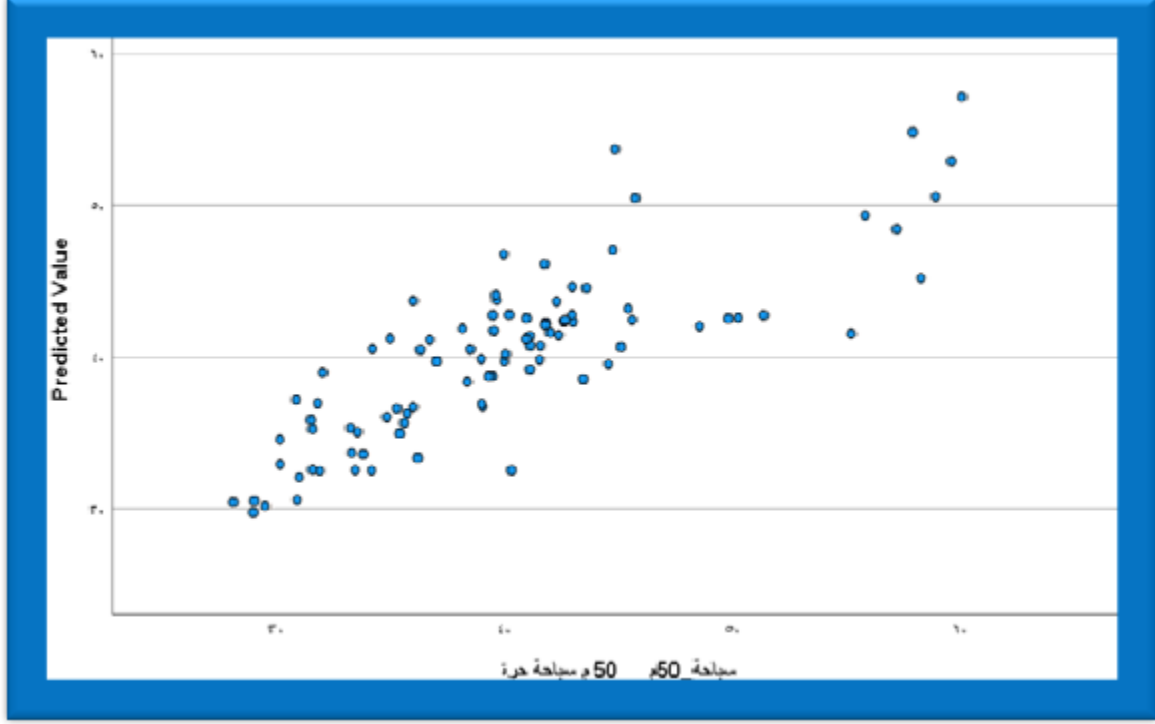
الأهمية النسبية والأهمية المعدلة معيارياً لمدخلات الشبكة العصبية

| أهمية المتغير المستقل | | |
|------------------------|-----------------|-------------------|
| المغيرات | الأهمية النسبية | الأهمية المعيارية |
| النوع | 0.071 | 27.3% |
| الوثب العريض | 0.206 | 78.8% |
| الوثب العمودي | 0.180 | 68.7% |
| الضغط | 0.069 | 26.2% |
| اختبار تحمل ١٥٠٠م جرى | 0.071 | 27.2% |
| العقلة الشد على العقلة | 0.142 | 54.1% |
| بطن بطن | 0.261 | 100.0% |



شكل (٧) يوضح الأهمية النسبية المعيارية لمتغيرات الإدخال في التنبؤ بالمخرجات

حيث يوضح الشكل الأهمية المعيارية لمتغيرات الإدخال في التنبؤ بزمن (٥٠ متر) سباحة وذلك لكل متغير متنبئ . وهو يعرض القيم ذات الأهمية مرتبة ترتيباً تنازلياً. والأهمية المعيارية هي مقياس لمدى تأثير القيمة المتوقعة للمتغير التابع فيما يتعلق بإستبعاد مؤشر تنبؤي معين. وقد قام النموذج بعد مرحلة التدريب والاختبار والتأكد من صلاحية النموذج بتطبيق النموذج على كامل البيانات والشكل التالي يوضح العلاقة الخطية بين الرقم الفعلي والرقم الناتج من نموذج الشبكة العصبية.



والشكل (٨) يوضح العلاقة الخطية بين الرقم الفعلي لسباحة ٥٠ متر والرقم الناتج من نموذج الشبكة العصبية.

ومما سبق يتضح أن معادلة التنبؤ المشتقة من الشبكة العصبية لكيفية تحويل المدخلات عبر طبقات مختلفة إلى مخرجات. ومن خلال فهم هذا الهيكل وكيفية التعامل مع الأوزان والتحييزات أثناء التدريب ، يمكنك إستخدام الشبكات العصبية بشكل فعال للحصول على تنبؤات دقيقة لزمن سباحة ٥٠ متر وهو ما يمكن تطبيقه بالقياس في العديد من الدراسات التنبؤية.

وحيث أن الهدف الأساسي من الدراسة محاولة الوصول الى أفضل نموذج تنبؤي والتي تم خلالها إستخدام النماذج الثلاثة الأكثر انتشاراً في المجال الرياضي وقد حقق كل نموذج منه الوصول الى التنبؤ على نفس البيانات الفعلية التي قدمت لهذه النماذج والتي تم إستخدامها في التنبؤ بالمخرجات فلا بد من تحديد القدرة التنبؤية لكل نموذج وأي هذه النماذج كان الأكثر قدرة على التنبؤ.

ولتحديد ذلك قام الباحثين بإستخدام إرتباط المسافات لتحديد التماثل بين المتغيرات Distances Correlation Similar Variables والجدول التالي يوضح مصفوفة العلاقات الدالة على التماثل بين المتغيرات .

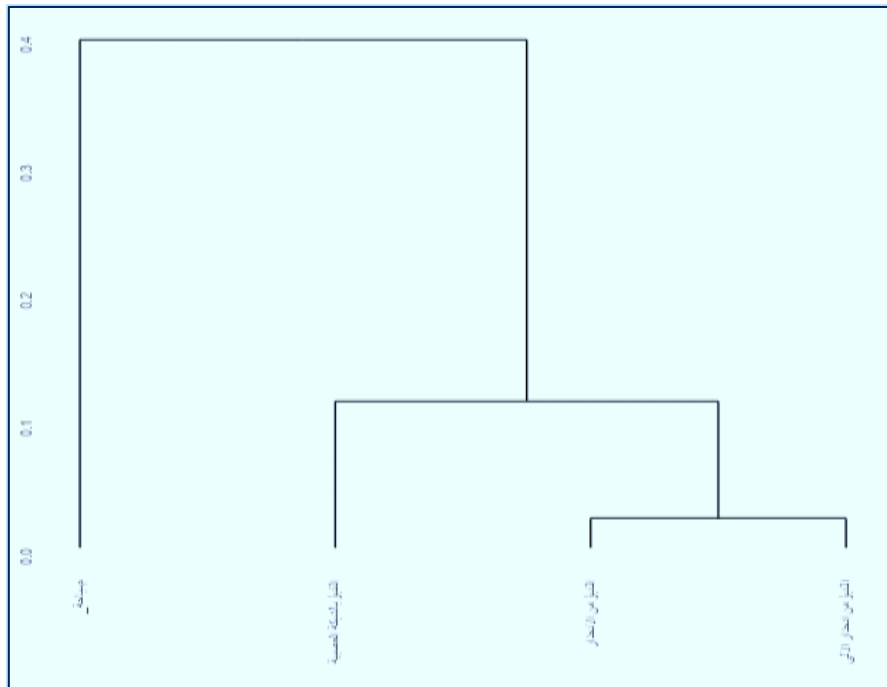
جدول (١٤)
القدرة التنبؤية من خلال مصفوفة العلاقات الدالة على التماثل بين المتغيرات

| Proximity Matrix | | | | مصفوفة التقارب والتشابه |
|---|--------------------------|--------------------|----------------|-------------------------|
| معاملات الارتباط بين الرقم الفعلي ومنتبأ رقم ٥٠ متر سباحة | | | | الرقم الفعلي والتنبؤ |
| التنبؤ بالشبكة العصبية | التنبؤ من الإنحدار الألي | التنبؤ من الانحدار | ٥٠ م سباحة حرة | |
| .738 | .708 | .690 | 1.000 | ٥٠ م سباحة حرة |
| .899 | .977 | 1.000 | .690 | التنبؤ من الانحدار |
| .918 | 1.000 | .977 | .708 | التنبؤ من انحدار الألي |
| 1.000 | .918 | .899 | .738 | التنبؤ بالشبكة العصبية |

مصفوفة التشابه هي المفهوم المعاكس لمصفوفة التباعد بين المتغيرات حيث تقيس عناصر مصفوفة التشابه أوجه التشابه الزوجية بين المتغيرات - كلما زاد التشابه بين متغيرين، زادت قيمة القياس. وبالتالي دل ذلك على القدرة على التنبؤ بين المتغيرات. وعلى سبيل المثال، غالبًا ما يمكن اعتبار مصفوفة الارتباط بمثابة مصفوفة تشابه للمتغيرات - لأنه من الطبيعي اعتبار أزواج المتغيرات ذات القيم الأعلى لمعامل الارتباط أكثر تشابهًا مع بعضها البعض من الأزواج ذات القيم الأقل لمعامل الارتباط. وهو ما يستخدم فعليًا في العديد من أساليب التحليل الأكثر تعقيدًا مثل التحليل العاملي والتحليل العنقوي.

ويتضح من الجدول السابق أن قيم التنبؤ باستخدام الشبكة العصبية كانت الأعلى من حيث معامل الارتباط للتماثل حيث بلغت (٠.٧٣٨) ثم باستخدام الإنحدار الألي حيث بلغت (٠.٧٠٨) وأخيراً باستخدام الإنحدار المتعدد وقد بلغت القيمة (٠.٦٩٠) مما يشير الى أن نموذج الشبكة العصبية هو الأكثر قدرة على التنبؤ ثم النموذج باستخدام الإنحدار الألي رغم أن التماثل بين الإنحدار المتعدد والإنحدار الألي بلغ

(٠.٩٧٧)، والشكل التالي والخاص باستخدام التحليل العنقودي للتأكيد من نوعين التقارب بين المتغيرات قد أكدت هذه النتيجة حيث يظهر نموذج الشبكة العصبية هو الأكثر قدرة على التنبؤ. وهو ما أكدته المراجع في أهميته وقيمته وقدرته على التعامل مع جميع أنواع المتغيرات واستخدام الذكاء الاصطناعي في تدريب الشبكة لخفض حجم التشويش في البيانات ثم تطبيق الشبكة اختبارياً لتحديد مدى قبول النموذج.



شكل (٩) يوضح نتائج التحليل العنقودي لمتغيرات التنبؤ بالنماذج المختلفة

يعد التطور الحادث في الحاسب الآلي وظهور الذكاء الاصطناعي وتعدد اتجاهاته وإستخداماته في كافة المجالات والتطور المذهل وخاصة في إتجاهات البحث العلمي والإحصاء وظهور إتجاهات حديثة في البحث العلمي وفي المعالجات الإحصائية وهو ما تم تطبيقه أيضاً في العديد من الدراسات في علوم الرياضة.

حيث قام مارك وهومان Mark and Hohmann (٢٠١١) بدراسة عن تطبيقات الشبكات العصبية في علوم التدريب حيث يوضح أن يمكن عموماً تقسيم الطرق المستخدمة حالياً لتحليل البيانات في مجال البحث العلمي التدريبي إلى أساليب ثابتة وديناميكية ومن أحدث هذه الأساليب 'الشبكات العصبية'، فبينما الطرق التقليدية تعتد على أنه يتم عزل المتغيرات الفردية من شبكة العلاقات المتبادلة، ويتم إستبعاد العوامل المتفاعلة، بحيث تسمح الأساليب الخطية المدمجة في تصميم البحث، في معظم الدراسات، بإجراء تحليل ناجح للبيانات الكمية. عند القيام بذلك، يتم عادةً تقييم الأسئلة البحثية في مجال علوم التدريب بإستخدام الأساليب والنماذج الإحصائية الإستدلالية (على سبيل المثال، تحليل الإنحدار ، والتحليل التمييزي). ومع ذلك، فقد تبين بشكل متزايد في الماضي القريب أن النماذج الخطية التقليدية غير كافية في فهم وشرح حتى الآليات البيولوجية البسيطة ، **ناهيك** عن الأشكال الأكثر تعقيداً للسلوك البشري أو الحركة. أدت هذه المشكلات بشكل أو بآخر إلى تحول نموذجي ، إلى رؤية للتدريب الرياضي كأنظمة ديناميكية معقدة ، وأدت إلى التخلي عن طرق تحليل البيانات الخطية التقليدية لصالح الأساليب الفردية غير الخطية) حيث يبدو ان إستخدام الأساليب غير الخطية لتحليل البيانات المعتمد على الذكاء الاصطناعي واعداً بشكل خاص في مجال الرياضة التنافسية (٤). وفيما يتعلق بالتعلم الآلي. ويتغلب على عيوب الأساليب الإحصائية التقليدية لدراسة العلاقة بين المؤشرات دون النظر إلى العلاقة بين المؤشرات والقدرات الابتكارية. يقوم هذا النموذج أولاً بتجميع جميع العينات، ويتم حساب وزن كل مؤشر من خلال معدل كسب الإنترنت، ويتم حساب النتيجة الإجمالية عن طريق إضافة القيم المرجحة لكل مؤشر. للحصول على نتائج أكثر دقة، وتحسب الشبكة العصبية درجات العينة، التي لها نفس النتيجة.

الإستنتاجات :

١. تم التوصل إلى إستخدام النموذج التنبؤي بإستخدام الإنحدار المتعدد المتزايد وتطبيقه.
٢. تم التوصل الى بناء نموذج تنبؤي بإستخدام الإنحدار الآلي المبنى على الذكاء الإصطناعي وتطبيقه
٣. تم التوصل الى الطرق المعتمدة على الذكاء الصناعي والحاسب الآلي تعد الأسلوب الأمثل وخاصة نموذج الشبكة العصبية ونموذج الإنحدار الآلي وخاصة إذا كانت المتغيرات المستقلة ذات أنواع بيانات مختلفة ، حيث أنها أثبتت قدرتها على التنبؤ بزمن السباحة .
٤. اثبتت الدراسة انه يمكن المقارنة بين النماذج الثلاثة في القدرة التنبؤية

التوصيات :

- يوصي الباحثين بالإعتماد علي نموذج التنبؤ بطريقة الذكاء الإصطناعي حيث يعود ذلك الأسلوب الأمثل في إستخراج البيانات .
- إجراء دراسات مشابهة للدراسة الحالية للتنبؤ بزمن السباح علي أنواع مختلفة للسباحة .
- إجراء دراسات مشابهة لنموذج الشبكة العصبية الإصطناعية علي العديد من الأنشطة الأخرى (فردية -جماعية).

قائمة المراجع

أولاً: المراجع العربية

١. العباسي، عبد الحميد محمد : التنقيب في البيانات، تطبيقات باستخدام SPSS Modelar ، جامعة القاهرة، معهد الدراسات والبحوث الإحصائية والاحصاء السكاني ، ٢٠١٣.
٢. عثمان، حسام محمد : استخدام الشبكات العصبية متعددة الطبقات في التنبؤ بمخاطر الائتمان لمنشآت الاعمال (دراسة تطبيقية) مستخرج من رسالة الدكتوراه، مجلة الدراسات المالية والتجارية ، العدد الأول ، ٢٠٢٢.

ثانياً: المراجع الأجنبية

3. Fredrik Sjöberg :Football Match Prediction Using Machine Learning, master's thesis in Computer Engineering Åbo Akademi University, Finland Faculty of Science Engineering (FNT) Information Technology 2023.
4. Gençm, S., and Mendes,M: Multiple Linear Regression versus Automatic Linear Modelling, Arq. Bras. Med. Vet. Zootec., v.76, n.1, p.131-136, 2024.
5. Halto Clay: Predictive Analytics: Definition, Model Types, and Uses, Updated June 27, 2024.<https://www.investopedia.com/terms/p/predictive-analytics.asp#:~:text=At%20its%20core%2C%20predictive%20analytics,tool%20used%20in%20predictive%20analysis.>
6. Hamed Taherdoost :Different Types of Data Analysis; Data Analysis Methods and Techniques in Research Projects Authors. International Journal of Academic Research in Management (IJARM), 2020, 9 (1), pp.1-9.
7. Heazlewood, Timothy :Prediction Versus Reality: The Use Of Mathematical Models To Predict Elite Performance In Swimming And Athletics At The Olympic Games, In Journal of Sports Science and Medicine (2006) 5, 541-547.
8. Hongwei Yang: The Case for Being Automatic: Introducing the Automatic Linear Modeling (LINEAR) Procedure in SPSS Statistics in Multiple Linear Regression Viewpoints, 2013, Vol. 39(2).
9. Jhamvar, Arnav :Comparison Of Different ML Models To Predict Football Match Results,in International Research Journal of Modernization in Engineering Technology and Science, Volume:05/Issue:08/August-2023.
10. Mark Pfeiffer, and Hohmann,A: Applications of Neural Networks in Training Science, In Human Movement Science · February 2011.
11. Maszczyka Adam, Artur G, Przemysław P, Robert R, Adam Z, and Arkadiusz S Application of Neural and Regression Models in Sports Results Prediction , In Social and Behavioral Sciences 117 (2014) 482 – 487.
12. Muñoz, & Felicísimo, Ángel: Comparison of statistical methods commonly used in predictive modelling, Journal of Vegetation Science 15: 285-292, 2004.
13. Qlik® <https://www.qlik.com/us/predictive-analytics/predictive-modeling>
14. Ticong.Liz:5 Top Predictive Analytics Techniques and Real-World Applications, Updated April 18, 2024<https://www.datamation.com/big-data/predictive-analytics-techniques/>

المخلص

دراسة مقارنة للقدرة التنبؤية لزمن السباحة من القياسات البدنية باستخدام نموذجين للانحدار ونموذج تحليل الشبكة العصبية

أ.م.د. خالد مصطفى اسماعيل الشبكي
أستاذ مساعد بقسم اصول التربية الرياضية
كلية التربية الرياضية للبنين
جامعة الإسكندرية

أ.م.د. كارم احمد ابوزيد حشيش
أستاذ مساعد بقسم اصول التربية الرياضية
كلية التربية الرياضية للبنين
جامعة الإسكندرية

م.د. سارة محمد بسيوني مصطفى
مدرس بقسم نظريات وتطبيقات الرياضة المدرسية
كلية التربية الرياضية للبنات
جامعة الإسكندرية

يهدف البحث الحالي إلى دراسة مقارنة للقدرة التنبؤية لزمن السباحة من القياسات البدنية باستخدام نموذجين للانحدار ونموذج تحليل الشبكة العصبية؛ حيث أن الأساس في فكرة الدراسة هو تحديد أفضل طرق التنبؤ في المجال الرياضي من خلال ٣ نماذج هي الأكثر استخداماً في التنبؤ وقد استخدم الباحثين المنهج الوصفي بالإسلوب المسحي لمناسبته لطبيعة البحث، وتم اختيار عينة البحث بالطريقة العشوائية من السباحين والسباحات من مرحلة ١٤ و ١٥ سنة من أندية وأكاديميات السباحة الإسكندرية والبحيرة وقد بلغ عددهم ٩٠ سباح وسباحة طبق الباحثين على العينة الكلية مجموعة من القياسات داخل البدنية، وقد تم معالجة البيانات إحصائياً من خلال الانحدار المتعدد والانحدار الآلي واختبار الشبكة العصبية، وقد أشارت النتائج إلى التوصل إلى استخدام الطرق التي أوضحتها الدراسة في التنبؤ في المجال الرياضي لكافة الأغراض وإن كان من حيث دقة التنبؤ فإن الطرق المعتمدة على الذكاء الصناعي والحاسب الآلي تعد الأسلوب الأمثل وخاصة نموذج الشبكة العصبية ونموذج الانحدار الآلي وخاصة إذا كانت المتغيرات المستقلة ذات أنواع بيانات مختلفة، حيث أنها أثبتت قدرتها على التنبؤ بزمن السباحة.

Summary

A comparative study of the predictive ability of swimming time from physical measurements using two regression models and a neural network analysis model

Assist. Prof. Karem Ahmed Abozaid Hashish

Assistant Professor Department of Fundamentals of
Physical Education

Faculty of Physical Education for Boys
Alexandria University

Assist. Prof. Khaled Mostafa Ismail Elshopky

Assistant Professor Department of Fundamentals of
Physical Education

Faculty of Physical Education for Boys
Alexandria University

Dr.Sara Mohamed Basuoney Mostufa

Lecturer Department of School Sports Theories and Applications

Faculty of Physical Education for Girls
Alexandria University

The current research aims to conduct a comparative study of the predictive ability of swimming time from physical measurements using two regression models and a neural network analysis model, as the basis for the idea of the study is to determine the best prediction methods in the sports field through three models that are most commonly used in prediction. The researchers used the descriptive approach in the survey method due to its suitability to the nature of the research. The research sample was selected randomly from male and female swimmers from the 14 and 15 years of age from the Alexandria and Beheira swimming clubs and academies. Their number reached 90 male and female swimmers. The researchers applied a set of intra-physical measurements to the total sample. The data was processed statistically through multiple regression, automatic regression, and neural network testing. The results indicated the use of the methods explained by the study in prediction in the sports field for all purposes, although in terms of prediction accuracy, the methods based on artificial intelligence and computers are the optimal method, especially the neural network model and the automated regression model, especially if the independent variables are of data types. Different, as it has proven its ability to predict swimmingtime.